牛蒡子苷元对子宫内膜癌 HEC-1B 细胞的 增殖抑制作用及机制

刘若男1 刘文静1 邱建阁2 罗穗豫3

(1 郑州大学附属肿瘤医院,郑州,450008; 2 郑州大学医学科学院细胞信号转导和蛋白质组学研究中心, 郑州,450001; 3 河南省人民医院妇科,郑州,450003)

摘要 目的:探讨牛蒡子苷元(ARG)对子宫内膜癌 HEC-1B 细胞的增殖抑制作用及机制。方法:HEC-1B 细胞分为观察组和对照组,观察组用终浓度为 $10\20\30\40\60\100\ \mu mol/L$ 的 ARG 干预,对照组用 0.5% 二甲基亚砜(DMSO)干预。48 h后,用四甲基偶氮唑盐微量酶反应比色法(MTT法)检测胞增殖情况;流式细胞仪检测细胞调亡及细胞周期;蛋白免疫印迹法(WB)检测细胞 NF- κ B 信号通路相关蛋白表达。结果: $10\20\30\40\60\100\ \mu mol/L$ ARG 干预 48 h,HEC-1B 细胞的相对生存率分别为(92.36±0.52)%、(89.59±0.74)%、(78.49±0.68)%、(56.47±0.59)%、(40.12±0.69)%、(37.52±0.58)%,且随着 ARG 作用浓度的升高,HEC-1B 细胞的相对生存率呈逐渐降低趋势,差异有统计学意义(P<0.05),干预48 h HEC-1B 细胞50%抑制浓度(P<0.05),为50 P0.050,如照组和观察组(50 P0.050,如原组细胞周亡率分别为(2.89±0.56)%、(26.58±3.26)%,观察组细胞周上率明显高于对照组,差异有统计学意义(P<0.05)。但观察组细胞周期分布与对照组比较,差异无统计学意义(P>0.05)。观察组(50 P0.050,细胞 P0.050,结论:ARG 可抑制 HEC-1B 细胞增殖,促进其凋亡,其作用机制与可能与降低 P0.050,避路相关蛋白表达水平,抑制 P0.050,结论:ARG 可抑制 HEC-1B 细胞增殖,促进其凋亡,其作用机制与可能与降低 P0.050,通路相关蛋白表达水平,抑制 P0.050,通路活化有关。

关键词 子宫内膜癌;牛蒡子苷元;HEC-1B 细胞;增殖;凋亡;NF-κB 通路

Proliferation Inhibition Effect of Arctigenin on Endometrial Carcinoma HEC-1B Cell and Its Mechanism

Liu Ruonan¹, Liu Wenjing¹, Qiu Jiange², Luo Suiyu³

(1 Affiliated Cancer Hospital of Zhengzhou University, Zhengzhou 450008, China; 2 Cell Signal Transduction and Proteomics Research Center, The Academy of Medical Science, China-Zhengzhou University, Zhengzhou 450008, China;

3 Department of Gynecology, Henan Province People's Hospital, Zhengzhou 450003, China)

Abstract Objective: To investigate the proliferation inhibition effect of Arctigenin (ARG) on endometrial carcinoma HEC-1B cell and its mechanism. Methods: HEC-1B cells were divided into test group and control group. The test group was intervened with ARG at the final concentration of 10,20,30,40,60,100 µmol/L, and the control group was intervened with 0.5% dimethyl sulfoxide (DMSO). 48 h after incubation, the proliferation was detected by MTT assay. The cell apoptosis and cell cycle were detected by flow cytometry. The expression of NF-kB signaling pathway related proteins were detected by western blotting (WB). Results: The relative survival rates of HEC-1B cell intervened with 10,20,30,40,60 and 100 mol/LARG after 48 h were (92, 36 ± 0, 52)%, $(89.59 \pm 0.74)\%$, $(78.49 \pm 0.68)\%$, $(56.47 \pm 0.59)\%$, $(40.12 \pm 0.69)\%$, $(37.52 \pm 0.58)\%$ respectively, with the increase of ARG concentration. The relative survival rates of HEC-1B cells decreased gradually (P < 0.05). 50% inhibitory concentration (ID50) of HEC-1B cells intervened with ARG after 48 h was 50 µmol/L. The apoptosis rates of HEC-1B cells in the control group and the test group (50 \text{ \text{\pmol/L} ARG)} were (2.89 \text{\pmol/s}0.56)\%, (26.58 \text{\pmol/s}3.26)\% respectively. The apoptosis rate in the test group was significantly higher than that in the control group (P < 0.05). However, there was no significant difference in cell cycle distribution between the test group and the control group (P > 0.05). The expression levels of p65 and p-I_KB- α in the test group (50 μ mol/L ARG) were significantly lower than that in the control group (P < 0.05). There was no significant difference in the expression levels of $I_K B - \alpha$ between the test group and the control group (P > 0.05). Conclusion: ARG can inhibit the proliferation and promote apoptosis of HEC-1B cells, and its mechanism may be related to decreasing the expression level of NF-KB related protein and inhibiting the activation of NF-KB pathway.

Key Words Endometrial carcinoma; Arctigenin; HEC-1B cells; Proliferation; Apoptosis; NF-κB pathway

中图分类号:R285.5 文献标识码:A doi:10.3969/j.issn.1673 - 7202.2018.08.046

子宫内膜癌又称子宫体癌,为子宫内膜腺体的 恶性肿瘤,约占女性癌症总数的7%,其发病与遗 传、患者长期使用激素以及高血压、肥胖、糖尿病、不 孕不育、绝经等体质因素有关[1-2]。近年来中西医结 合抗肿瘤治疗取得了较为显著的临床效果,因此中 药及其活性成分的抗肿瘤作用研究成为广大中医医 务工作者关注的焦点,也成为临床研究的热点和方 向。牛蒡子苷元(Arctigenin, ARG)为木质素类化合 物,是中药牛蒡子的主要药理活性成分之一[3]。最 新研究[4-5]证实, ARG 不仅具有抗炎及免疫调节的 功效,还具有较强的抗肿瘤作用,体外实验显示 ARG 能够增强肺癌细胞对化疗药物的敏感性,但是 目前其对子宫内膜癌细胞抗肿瘤作用的研究仍较为 罕见。本研究以子宫内膜癌 HEC-1B 细胞为研究模 型,观察 ARG 对 HEC-1B 细胞的增殖抑制作用,分 析其抗肿瘤作用机制,现将结果报道如下。

1 材料与方法

1.1 材料

- 1.1.1 细胞 子宫内膜癌 HEC-1B 细胞,购自中国 科学院上海细胞库。
- 1.1.2 药品 ARG:每支 20 mg,批号:115711,美国 Santacruz Biotechology 公司; DMEM 培养基、二甲基亚砜(DMSO),美国 Sigma 公司;胎牛血清,美国 Gibco 公司;胰蛋白酶,杭州四季青生物试剂有限公司; Annexin V-FITC/PI 双染细胞凋亡检测试剂盒,美国 Thermofisher 有限公司; p65 和 IκB-α 抗体,美国 Santa Cruz 公司;磷酸化-IκB-α(p-IκB-α)抗体,美国 Cell Signaling 公司等。
- 1.1.3 仪器 细胞培养板及细胞培养瓶,无锡耐思生物科技有限公司; DS-425P 电子天平,上海寺岗电子有限公司; Allegra 64R 高速冷冻离心机,美国Beckman Coulter 有限公司; CKX-31 荧光倒置相差显微镜,日本 Olympus 公司;725 型紫外可见分光光度计,上海舜宇恒平科学仪器有限公司; Meta-Morph 图像分析系统,美国 Media Cybernetics 公司等。

1.2 方法

- 1.2.1 ARG 的配制 DMSO 溶解 ARG 制成 20 mmol/L 的溶液,除菌后 4 ℃避光暂存。
- 1.2.2 HEC-1B细胞培养及ARG干预 将HEC-1B细胞以含有10%胎牛血清、1×10⁵U/L青霉素及100 mg/L链霉素的DMEM培养基,置于温度为37℃,5% CO₂培养箱中培养,每3天以0.25%的胰蛋白酶消化传代1次。将生长至对数期HEC-1B细胞用0.25%胰蛋白酶消化,PBS洗涤后,以DMEM培

养液调整细胞密度为 $2 \times 10^4 \sim 3 \times 10^4$ 个/mL 接种于培养瓶中,于 37 % 5% CO₂ 条件下培养箱中培养过夜,待细胞贴壁后,观察组细胞分别加入终浓度为 $10 \times 20 \times 30 \times 40 \times 60 \times 100$ μ mol/L 的 ARG 处理^[6],对照组则以 0.5% DMSO 处理,各组均继续培养 48~h。

1.3 观察指标

- 1. 3. 1 MTT 法检测 ARG 对 HEC-1B 细胞增殖抑制作用 取上述处理 48 h 后的 HEC-1B 细胞,用 0. 25%胰蛋白酶消化,以密度为 $4\times10^3\sim5\times10^3$ 个/ mL接种于 96 孔细胞培养板中,于 37 \mathbb{C} 5% CO₂ 条件下培养箱中培养。24 h 后待细胞贴壁生长后,按照 1. 2. 2 的方法处理细胞,于培养箱中继续培养 48 h 后进行细胞增殖活性的检测。将各组细胞上清吸弃后加 5 mg/mL 的 MTT,每孔 20 μ L,继续培养 4 h,弃上清,加 DMSO,轻轻震荡 10 min,以全自动酶标仪检测各孔于波长为 570 nm 的吸光光度值(OD_{570 nm}),绘制生存曲线,细胞相对生存率 = (观察组 OD_{570 nm}/对照组 OD_{570 nm})×100%,计算 50% 抑制浓度(IC₅₀)。
- 1.3.2 流式细胞术检测 ARG 对 HEC-1B 细胞周期 及凋亡率的影响 观察组和对照组 HEC-1B 细胞分别用 50 μ mol/L 的 ARG 及 0.5% DMSO 处理,干预 48 h 后,按照 Annexin V-FITC/PI 检测试剂盒的实验 要求收集细胞并处理,于收集好的细胞沉淀中加入 1×binding buffer 200 μ L 悬浮细胞,并加入 Annexin V-FITC 5 μ L,4 $^{\circ}$ C 避光孵育 15 \min ,加 5 μ L 碘化丙啶(PI)染液混匀,室温避光孵育 5 \min ,以流式细胞 仪进行检测,以 Modfit LT2.0 细胞周期分析软件分析 HEC-1B 细胞周期分布及凋亡情况。
- 1.3.3 蛋白免疫印迹法(WB)检测 ARG 对 HEC-1B 细胞 NF-κB 信号通路相关蛋白表达的影响 将 HEC-1B 细胞以密度为 $2 \times 10^4 \sim 3 \times 10^4$ 个/mL 接种于细胞培养瓶,至对数期弃培养液,观察组分别加终浓度为 50 μmol/L 的 ARG 处理,对照组则以 0.5% DMSO 处理,48 h 后收集细胞。提取细胞总蛋白,以 β-actin 为参照, Meta-Morph 图像分析系统分析各组细胞 p65、IκB- α 、p-IκB- α 蛋白表达情况。
- 1.4 统计学方法 采用 SPSS 22.0 软件进行统计学分析,计量资料用均数 \pm 标准差(\bar{x} \pm s)表示,采用 t 检验,多组间比较采用单因素方差分析,组间两两比较采用 SNK-q 检验法,以 P < 0.05 为差异有统计学意义。

结果

2.1 ARG 对 HEC-1B 细胞的增殖抑制作用

MTT 实验检测,10,20,30,40,60,100 μ mol/L ARG 处理 48 h,HEC-1B 细胞的相对生存率分别为 (92. 36 ± 0. 52)%、(89. 59 ± 0. 74)%、(78. 49 ± 0. 68)%、(56. 47 ± 0. 59)%、(40. 12 ± 0. 69)%、(37. 52 ± 0. 58)%,随着 ARG 作用浓度的升高,HEC-1B 细胞的相对生存率呈逐渐降低趋势,差异有统计学意义(P < 0.05),ARG 处理 48 h HEC-1B 细胞的 ID50 为 50 μ mol/L,因此后续实验均采用 50 μ mol/L 的 ARG 进行 HEC-1B 细胞的处理。

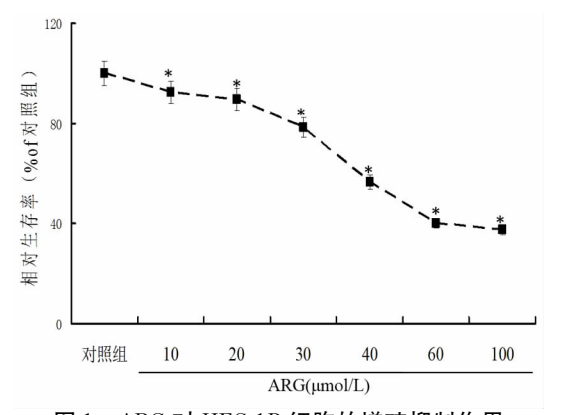


图 1 ARG 对 HEC-1B 细胞的增殖抑制作用注:与对照组比较,*P<0.05

2.2 ARG 对 HEC-1B 细胞周期及凋亡率的影响 干预 48 h后,对照组和观察组 HEC-1B 细胞凋亡率 分别为(2.89 ± 0.56)%、(26.58 ± 3.26)%,观察组 细胞凋亡率明显高于对照组,差异有统计学意义(P < 0.05)。但观察组细胞周期分布与对照组比较,差 异无统计学意义(P > 0.05)。见图 2、3。

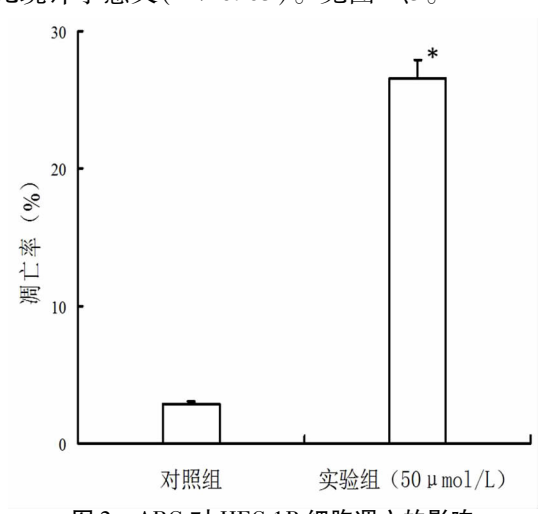


图 2 ARG 对 HEC-1B 细胞凋亡的影响 注:与对照组比较,*P<0.05

2.3 ARG 对 HEC-1B 细胞 NF-κB 信号通路相关蛋白表达的影响 WB 检测结果显示,观察组 HEC-1B 细胞 p65 、p-IκB-α 蛋白表达量明显低于对照组,差异有统计学意义(P < 0.05),2组 IκB-α 蛋白表达量

比较,差异无统计学意义(P > 0.05),如图 4。

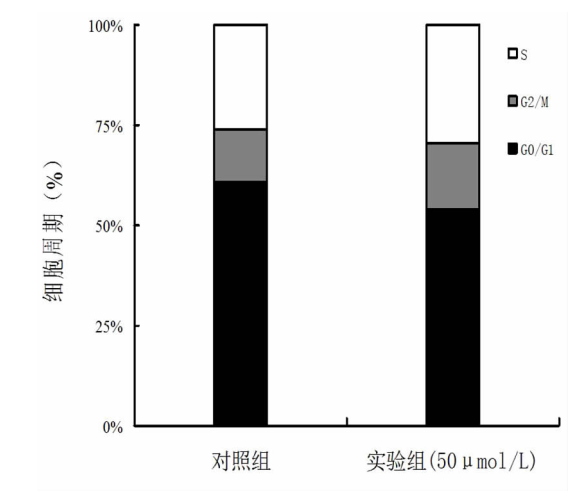


图 3 ARG 对 HEC-1B 细胞周期的影响

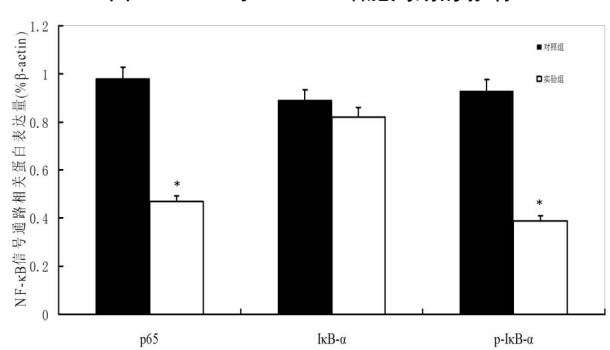


图 4 ARG 对 HEC-1B 细胞 NF-κB 信号通路 相关蛋白表达的影响

注:与对照组比较,*P<0.05

3 讨论

子宫内膜癌是女性生殖道三大恶性肿瘤之一, 发病率居我国妇科肿瘤的第2位,而近年来其发病 有年轻化的趋势,严重危害女性健康。常规放化疗 虽可抑制癌细胞增殖,但患者对于小剂量治疗易产 生耐药性,大剂量治疗则由于其细胞毒性,患者易无 法耐受而影响临床治疗,因而更安全有效的低毒性 治疗药物成为临床研究的热点和方向。中医学中并 无子宫内膜腺癌的病名,据其主要临床特点将其归 属"崩漏""痛经""癥瘕""五色带下"等范畴,认为 正气虚弱、血瘀、气滞、湿毒、热邪等为子宫内膜腺癌 的主要病机,属于本虚标实之症。患者疾病初期邪 盛而正虚明显,后期则随疾病病情进展出现气血阴 阳虚弱,表现为肝脾肾三脏具损,而肾虚肾脏受损最 甚[7]。尚洪宇[8]研究认为,长期肝肾亏虚、冲任二脉 失调导致了子宫内膜癌的形成,同时也与脾虚生湿, 湿蕴化热,湿热注于胞宫,与癒血互结化为邪毒所致 有关。目前关于中医药抗肿瘤的相关研究报道甚 多,充分反映出中药所具有的潜在抗肿瘤作用,李柳 叶等^[9]研究发现,白花蛇舌草黄酮通过降低子宫内膜癌 Ishikawa 细胞炎性细胞因子的表达进而抑制细胞增殖。陈寒露等^[10]研究发现,姜黄素通过上调抑制基因 NKD2 的表达,抑制 Wnt 信号通路进而体外抑制结肠癌细胞 SW620 的生长。武超等^[11]研究表明,黄芪皂苷 Ⅱ 可增加人肝癌细胞株 HepG2 对 5-FU的敏感性,明显抑制细胞的增殖,其机制与抑制 p-ERK1/2 表达有关。

牛蒡子为牛蒡的果实,ARG 为牛蒡子的主要木 脂素成分,具有不良反应小及较好的调控免疫等作 用。近期报道^[12]显示, ARG 具有显著的抗肿瘤活 性,其在体内外均可抑制肿瘤细胞增殖,诱导肿瘤细 胞凋亡。研究[13]报道,ARG 可增加非小细胞肺癌 H460 细胞对顺铂的敏感性,抑制细胞增殖;王静泓 等[14]研究发现, ARG 可促进肝癌 HepG2、Hep3B 细 胞的凋亡,与抑制 PI3K/Akt 信号通路下调抗凋亡蛋 白表达有关。本研究结果显示,ARG 可抑制子宫内 膜癌 HEC-1B 细胞增殖,并呈浓度依赖性的特点,同 时 ARG 也具有促进 HEC-1B 细胞凋亡的作用,但对 细胞周期并无明显的影响。因此可以认为 ARG 可 能通过诱导 HEC-1B 细胞凋亡的方式实现其对子宫 内膜癌细胞的杀伤作用。关于 ARG 的抗肿瘤作用 机制研究报道不一, Huang 等[15] 发现, ARG 诱导卵 巢癌细胞的凋亡与 i NOS/NO/STAT3/Survivin 信号 通路相关; Yao 等[16] 研究证实, ARG 通过抑制 STAT3 信号增强多种肿瘤细胞体外对顺铂的化疗敏 感性;Hsieh 等[17]报道,ARG 诱导雌激素受体阴性的 乳腺癌细胞凋亡与 ROS/p38 MAPK 通路有关。NFκB 信号通路为炎性细胞通路,通过抑制细胞凋亡、 参与肿瘤侵袭性转移及诱导肿瘤耐药等多种途径参 与肿瘤的形成的进展, p65 是 NF-κB 通路上的主要 位点蛋白,具有调控下游基因转录,激活细胞因子的 级联放大作用,可反映 NF-κB 的活化程度[18]。本研 究结果中,观察组 HEC-1B 细胞 p65、p-IκB-α 蛋白表 达量明显低于对照组,表明 ARG 可抑制上游信号分 子 IκB-α 的磷酸化,抑制 NF-κB 信号通路,进而抑制 子宫膜癌 HEC-1B 细胞的增殖,并促其凋亡。

综上所述,ARG 可抑制 HEC-1B 细胞增殖,促进 凋亡,其作用机制与可能与降低 NF-κB 通路相关蛋 白表达水平,抑制 NF-κB 通路活化有关,但是否具 有其他作用机制尚需进一步研究确认。

参考文献

[1] Gibson W J, Hoivik E A, Halle M K, et al. The genomic landscape and

- evolution of endometrial carcinoma progression and abdominopelvic metastasis [J]. Nature Genetics ,2016 ,48(8) ;848-855.
- [2] 张春苗, 丁海燕, 刘阳, 等. 胰岛素抵抗与血清胰岛素水平与子宫内膜癌发病的关系研究[J]. 贵州医药, 2016, 40(7):697-698.
- [3] 田兆兴, 杨倩. 中医药防治肿瘤放化疗后骨髓抑制的应用及研究进展[J]. 中国医院药学杂志, 2017, 37(2):190-193.
- [4] 苏勤勇,李晓梅,姚景春,等. 牛蒡子苷元对大鼠脑胶质瘤的作用及初步作用机制探讨[J]. 中国药理学通报,2015,31(6):805-809
- [5]郑国灿,王兵,黄聪华,等. 牛蒡子苷元对肿瘤血管生成抑制作用的观察[J]. 中华肿瘤防治杂志,2013,20(3):177-180.
- [6] Yang S, Ma J, Xiao J, et al. Arctigenin anti-tumor activity in bladder cancer T24 cell line through induction of cell-cycle arrest and apoptosis[J]. Anatomical Record, 2012, 295(8):1260-1266.
- [7] 黄彩梅,夏亦冬,胡国华. 紫草素对子宫内膜癌 Ishikawa 细胞雌激素信号通路表达的影响[J]. 世界中医药,2016,11(9):1842-1845.
- [8]尚洪宇. 子宫内膜癌患者中医体质类型及其相关因素的临床观察 [D]. 哈尔滨: 黑龙江中医药大学, 2016.
- [9]李柳叶,邢玉,包晓霞,等. 白花蛇舌草黄酮和多糖对与肿瘤相关 巨噬细胞共培养的人子宫内膜癌 Ishikawa 细胞的影响[J]. 中国 妇产科临床杂志,2015,16(2):150-153.
- [10] 陈寒露, 陈海滔, 徐超, 等. 姜黄素对结肠癌细胞株 NKD2 及 CX-CR4 基因表达影响的研究 [J]. 中国肿瘤, 2016, 25(4): 297-302.
- [11]武超,许杜娟,杨翠,等. 黄芪皂苷 Ⅱ增加 5-氟尿嘧啶对人肝癌 细胞株 HepG2 增殖抑制作用[J]. 安徽医科大学学报,2016,51 (1):78-82.
- [12] 黄栋栋,蔡志毅. 牛蒡子苷元抗肿瘤分子机制研究进展[J]. 检验医学,2016,31(6);546-548.
- [13] 王焕勤, 王静. Survivin 基因在牛蒡子苷元增强人肺癌 H460 细胞化疗敏感性中的作用[J]. 国际呼吸杂志, 2015, 35(6): 401-405.
- [14] 王静泓,姜孝新,曾乐平,等. 牛蒡子苷元通过抑制 PI3-K/Akt 信号通路诱导肝癌细胞凋亡[J]. 肿瘤药学,2015,5(6):430-435.
- [15] Huang K, Li LA, Meng YG, et al. Arctigenin promotes apoptosis in ovarian cancer cells via the i NOS/NO/STAT3/survivin signaling [J].

 Basic Clin Pharmacol Toxicol, 2014, 115(6):507-511.
- [16] Yao X, Zhu F, Zhao Z, et al. Arctigenin enhances chemo-sensitivity of cancer cells to cisplatin through inhibition of the STAT3 signaling pathway[J]. J Cell Biochem, 2011, 112(10):2837-2849.
- [17] Hsieh CJ, Kuo PL, Hsu YC, et al. Arctigenin, a dietary phy-toestrogen, induces apoptosis of estrogen receptor-negative breast cancer cells through the ROS/p38 MAPK pathway and epigenetic regulation [J]. Free Radic Biol Med, 2014, 67 (23):159-170.
- [18]任飞,王婷婷,王春雷. 布洛芬对 MyD88 基因沉默中性白细胞中 NF-kB 蛋白表达的影响[J]. 贵州医科大学学报,2016,41(3): 310-313.

(2018-04-16 收稿 责任编辑:张文婷)